

Le Théorème de Seifert-van Kampen

Soit X un esp. et $A, B \subset X$ ouverts t.q. $X = A \cup B$ et $C = A \cap B$ est connexe par arcs. Pour $x \in C$, comment calculer $\pi_1(X, x)$ à partir des π_1 de A, B et C ?

Dans l'esp. pointés :

$$\begin{array}{ccc} C \rightarrow B & \xrightarrow{\pi_1} & \pi_1(C) \longrightarrow \pi_1(B) \\ \downarrow & \downarrow & \downarrow \\ A \rightarrow X & \xrightarrow{\pi_1} & \pi_1(A) \longrightarrow \pi_1(X) \end{array}$$

Le lemme de Sull dit que π_1 préserve les pushouts :

$$\pi_1(X) \cong \pi_1(A) *_{\pi_1(C)} \pi_1(B)$$

Thm 4.1 (Seifert-van Kampen) : Soit $X = \bigcup_{\alpha \in J} A_\alpha$ où

$A_\alpha \subset X$ ouverts et connex, $\bigcap_{\alpha \in J} A_\alpha \neq \emptyset$.

Alors il existe un homom. naturel $\Phi: *_{\alpha} \pi_1(A_\alpha) \rightarrow \pi_1(X)$ qui est surj. si $A_\alpha \cap A_\beta$ est connexe $\forall \alpha, \beta \in J$.

Si en plus $A_\alpha \cap A_\beta \cap A_\gamma$ est connexe $\forall \alpha, \beta, \gamma \in J$, alors le noyau de Φ est engendré par $i_{\alpha \beta}^*(w) i_{\beta \alpha}^*(w)^{-1} \quad \forall \alpha, \beta \in J, w \in \pi_1(A_\alpha \cap A_\beta)$

Rank: Construction de $\Phi: *_{\alpha} \pi_1(A_\alpha) \rightarrow \pi_1(X)$:

L'inclusion $i_\alpha: A_\alpha \hookrightarrow X$ induit $i_{\alpha*}: \pi_1(A_\alpha) \rightarrow \pi_1(X)$. Par la propriété universelle du produit libre on obtient

$$\Phi: *_{\alpha} \pi_1(A_\alpha) \rightarrow \pi_1(X)$$

$$[f_{\alpha_1}] [f_{\alpha_2}] \dots [f_{\alpha_k}] \mapsto i_{\alpha_1*} [f_{\alpha_1}] \cdots i_{\alpha_k*} [f_{\alpha_k}]$$

$$\begin{array}{c} \pi_1(A_\alpha \cap A_\beta) \xrightarrow{i_{\alpha \beta*}} \pi_1(A_\beta) \\ \downarrow i_{\alpha \beta*} \qquad \downarrow \\ \pi_1(A_\alpha) \longrightarrow \pi_1(X) \end{array}$$

Donc clairement

$$i_{\alpha \beta*}(w) i_{\beta \alpha*}(w)^{-1} \in \ker(\Phi)$$

- Si $X = A \cup B$ et $A \cap B$ est connexe, alors 4.1 implique

$$\pi_1(X) \cong \pi_1(A) *_{\pi_1(A \cap B)} \pi_1(B)$$

Exemple: On a vu que $S^n = D^n \cup_{S^{n-1}} D^n$  $\pi_1(S^n) \cong \pi_1(D^n)$

Pour $n \geq 2$, S^{n-1} est connexe $\xrightarrow{\text{then}}$ $\pi_1(S^n) \cong \pi_1(D^n) *_{\pi_1(S^{n-1})} \pi_1(D^n)$
 Pour $n=1$ le thm ne s'applique pas! $\cong \{1\} *_{\pi_1(S^0)} \{1\} = \{1\}$

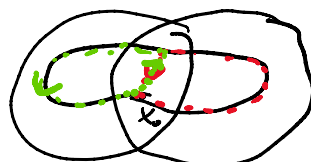
4.2 La preuve du thm 4.1

On va ignorer les indentations, trous etc. donc pour $[f] \in \pi_1(A_x)$
 on peut aussi écrire $[f] \in \pi_1(X)$ au lieu de $i_x \circ [f] \dots$

Lemme 4.2: $\bar{\Phi}$ est surjective. Plus précisément, $\forall [f] \in \pi_1(X)$

$\exists [x_1, \dots, x_k] \in \coprod_i \pi_1(A_{x_i})$ t.q. $[f] = [f_1] \dots [f_k] \in \pi_1(X)$

Prf: Comme f est continue, on peut trouver $\forall t \in I$ un interval ouvert $t \in U_t$ t.q. $f(U_t) \subset A_{x_t}$ pour un x_t .



\Rightarrow Un nombre fini des I_t recouvrent $I \Rightarrow \exists 0 = s_0 < s_1 < \dots < s_k = 1$

t.q. $f([s_i, s_{i+1}]) \subset A_{x_i}$. conc. des droites.

Soit $g_i = f|_{[s_i, s_{i+1}]}$. Alors $f \cong g_1 + \dots + g_k$. Pour obtenir des bouches on divise $h_i : I \rightarrow A_{x_i} \cap A_{x_{i+1}}$ concave par l'hypot. t.q. $h_i(0) = x_0$, $h_i(1) = f(s_i)$.

$$\Rightarrow f \cong \underbrace{g_1 + h_1}_{=: f_1} + \underbrace{h_1 g_2 h_2}_{=: f_2} + \dots + \underbrace{h_{k-1} g_k}_{=: f_k}$$

C.-à-d. $N = \sum_{i=1}^k -$ intervalles normalement engendré par $i_{\text{sup}}(\alpha) \cdot i_{\text{base}}(\alpha)$

$$= +_1 \quad = +_2 \quad = +_{\alpha}$$

Soit un N sous-groupe norm. engendré par $i_{\alpha\beta_1}(a) i_{\beta\alpha_1}(a)$
 $\forall \alpha, \beta \in \{A_1, A_2, A_3\}$. On a un $N \cap \ker(\phi)$. Pour montrer $\ker(\phi) \subset N$
on considère $[f_1] \cdots [f_n] \in \ker(\phi) \subset \text{ker}(\pi_i(A_\alpha))$ t.q. $f_i \in \pi_i(A_{\alpha_i})$.

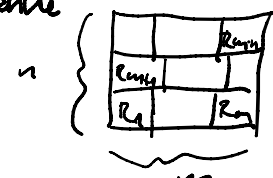
Si $f = f_1 \circ \dots \circ f_n$, alors $[f] = 1 \in \pi_i(X) \Rightarrow \exists F: I \times I \rightarrow X$ homot. de f à C_x

Comme dans la preuve de 4.2 il décomp. de $I \times I$ en rectangles R_{ij}

$$\begin{aligned} \text{t.q. } & F(R_{ij}) \subset A_{\alpha_{ij}} = A_{ij} \\ & R_{ij} = A_{\alpha_j} \text{ et } [F|_{R_{ij} \cap I \times \{0\}}] = [f_i] \end{aligned}$$

En plus on peut perturber les lignes

intérieures t.q. chaque $(\ell, s) \in I \times I$ est contenue
dans au plus 3 rectangles.



On numérote les rectangles R_1, R_2, \dots, R_m

du bas-gauche vers le haut-droite et on définit $\gamma_n: I \rightarrow I \times I$
comme le chemin qui sépare R_1, \dots, R_n des autres rectangles:

$$\gamma_0: \square \quad \gamma_1: \square \quad \dots \quad \gamma_m: \square$$

Chaque γ_n commence sur $\{0\} \times I$ et termine sur $\{1\} \times I \rightsquigarrow \gamma_n(0) = \gamma_n(1) = x$

Comme $\gamma_0 = \gamma_1 = \dots = \gamma_m$ aussi $f = F \circ \gamma_0 = F \circ \gamma_1 = \dots = F \circ \gamma_m = C_x$

Pour chaque coin $v \in I \times I$ d'un rectangle \exists au plus 3 ouverts t.q.

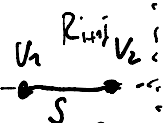
$F(v) \in \pi_{\alpha_1 \alpha_2 \alpha_3} A_{\alpha_3} \rightsquigarrow g_v: I \rightarrow X$ t.q. $g_v(0) = x_0$ et $g_v(1) = F(v)$

Ainsi on obtient pour chaque $F \circ \gamma_n$ un élément de $\ker(\phi)$

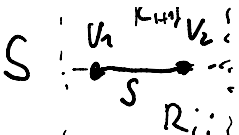
$$(t) = [f_1] \cdots [f_{k_n}] \text{ avec } [f_i] \in \pi_{\alpha_i}(A_{\alpha_i})$$

en ajoutant $g_v \circ g_v$ chaque fois que $F \circ \gamma_n$ passe par un coin d'un rectangle.

1. ... 1. (t) n'est pas unique: pour chaque segment S



rectangle.

Le mot $(*)$ n'est pas unique : pour chaque segment S :  $\pi_1(v_i, v_{i+1})$ il faut choisir si on considère $g_{v_i}^* \pi_1(S) g_{v_{i+1}}^{-1} \subset \pi_1(R_{ij})$ ou $\pi_1(R_{i+1,j})$.

Mais deux choix donnent le même élément dans $\pi_1(A_d)/N$ par déf. de N .

En plus $F\circ\gamma_r$ et $F\circ\gamma_{r+1}$ diffèrent par une homot. dans R_{r+1} et donc les deux donnent le même mot si on choisit R_{r+1} pour tous les segments de $F\circ\gamma_r$ et $F\circ\gamma_{r+1}$ dans R_{r+1} .

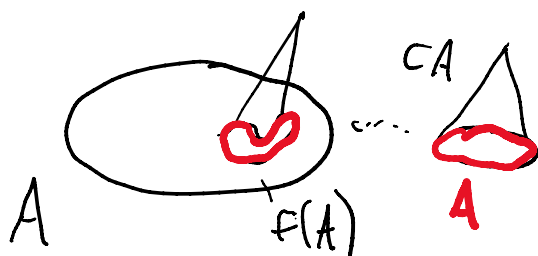
$$\Rightarrow [f_1] \cdots [f_n] = [f'_1] \cdots [f'_{n'}] = [f^1_1] \cdots [f^1_{n''}] = \dots = [f^{m_1}_1] \cdots [f^{m_n}_{n''}]$$

$$\Rightarrow [f_1] \cdots [f_n] \in N \Rightarrow \text{Ker}(\phi) = N \quad \square$$

4.3 Attacheement d'une cellule:

Prop 4.3 : Soient (X, x_0) et (A, a) deux esp. pointés avec A connexe. Soit $f: A \rightarrow X$ pointée et $Y = X \cup_f CA$.

Alors $\pi_1(Y, x_0) = \pi_1(X, x_0) * \begin{cases} \{1\} \\ \pi_1(A, a) \end{cases}$



Def / Rappels : • Un sous-esp. $i: A \hookrightarrow X$ est un rétracte s'il existe $r: X \rightarrow A$ t.q. $r \circ i = \text{id}_A$

($\Rightarrow i_*: \pi_1(A) \rightarrow \pi_1(X)$ est injective et $r_*: \pi_1(X) \rightarrow \pi_1(A)$ surj.)

• $i: A \hookrightarrow X$ est un rétracte de déformation de X s'il existe $r: X \rightarrow A$ t.q. $r \circ i = \text{id}_A$ et $i \circ r = \text{id}_A$

$r: X \rightarrow A$ t.q. $r \circ i = \text{id}_A$ et $i \circ r = \text{id}_X$

(On peut f\^o\i{}r pas conclure que $\pi_1(A) \cong \pi_1(X)$ lors l'homot. de ior
vers ∂X n'est pas forc\^ement point\'e.)

- $i: A \hookrightarrow X$ est un rétrécissement de déformation fort de X si
 $i \circ i = id_A$ et $i \circ r$ est homot. à id_X par une homot fixant
 A , i.e. $H: X \times I \rightarrow X$ t.q. $H(x, 0) = i \circ r(x)$, $H(x, 1) = x$ et
 $H(a, t) = a \forall t \in I$.

Dans ce cas on a $\pi_1(A, a_0) = \pi_1(X, i(a_0))$.

Exple: $X \times \{0\} \hookrightarrow X \times I$ est un rétracte de déf. fort.

pt de 4.3: $U = X_{V_f} A \times [0, \frac{1}{2})$, $V = A \times (\frac{1}{4}, 1) / A \times \{1\} \subset A$.

Alors $X = U \cup V$, U et V sont ouverts car leurs préimages dans $X \cup CA$ le sont, et $U \cap V = A \times (\frac{1}{4}, \frac{1}{2}) \simeq A$.

En plus $V \simeq \mathbb{P}^1$ et $U = X$, tous avec des branf. partées.

$$\xrightarrow{4.4} \pi_1(Y) = \pi_1(U) *_{\pi_1(U \cup V)} \pi_1(V) = \pi_1(X) *_{\pi_1(X)} \{ ? \}$$

can $X \hookrightarrow U$ coordinate, et donc $\pi_1(U, V) \rightarrow \pi_1(U)$
 $f \uparrow$]
 $A \hookrightarrow U, V$ correspond à $f_*: \pi_1(A) \rightarrow \pi_1(X)$ □

Attachements des cellules standards :

Soit $Y = X \cup_f e^n$ où $e^n \cong D^n$ et $f: S^{n-1} \rightarrow X$

Cor 4.4: a) Pour $n \geq 3$ on a $\pi_1(Y) = \pi_1(X)$

b) Pour $n=2$, $\pi_1(Y) = \pi_1(X)/N_f$ où $N_f \triangleleft \pi_1(X)$ est le sous-groupe normal engendré par $[f : S^1 \rightarrow X] \in \pi_1(X)$.

c) Pour $n=1$, $\pi_1(Y) = \pi_1(X) * \mathbb{Z}$ si (X, x_0) est bien-pointé.

Déf: Un esp. (X, x_0) est bien pointé si x_0 admet un voisinage contournable par une homot. pointée.

Pf: a) Par 4.3, car $\pi_1(S^{n-1}) = \{\mathbb{1}\}$ pour $n \geq 3$.

b) Par 4.3, car $\pi_1(S^1) \cong \mathbb{Z}$ et $N_f = \text{Im}(f_* : \mathbb{Z} \rightarrow \pi_1(X))$.

c) Exercices. \square

Cor 4.5: Pour tout groupe G il existe un esp. X tel que $\pi_1(X) \cong G$.

Pf: Soit $\langle x_{\alpha}, \alpha \in I | r_{\beta}, \beta \in J \rangle \cong G$ une présentation de G .

Considérons $X' = \bigvee_{\alpha \in I} S^1$ avec $\pi_1(X') \cong F(I)$.

Ensuite chaque $r_{\beta} = x_{\alpha_1}^{n_1} \cdots x_{\alpha_k}^{n_k}$ définit une appl. $f_{\beta} : S^1 \rightarrow X'$ en parcourant le $S^1 \subset X'$ qui correspond à $\alpha_i, n_i \in \mathbb{Z}$ fois.

4.4b) $\Rightarrow \pi_1(X') / N_f = \langle x_{\alpha}, \alpha \in I | r_{\beta} \rangle$.

En attachant une 2-cellule pour chaque $\beta \in J$ on obtient un X avec $\pi_1(X) \cong G$ \square

Remk: Notre preuve marche pour $|J| < \infty$, mais on pourrait génér. & facilement pour obtenir le cas général.

Expl: $T = \text{circle} \cong \begin{array}{c} \nearrow \\ \square \\ \searrow \end{array} / \sim \cong \text{figure 8} \rightsquigarrow \pi_1(T) = \langle a, b | aba^{-1}b^{-1} \rangle$.

Surfaces compactes orientées:

Surfaces compactes orientées:

On appelle une surface une variété différentielle de dim. 2.

Si S est compacte et orientée, dans la classification des surfaces, nous dit que $S \cong S_g = \underbrace{\alpha \circ \alpha \circ \dots \circ \alpha}_{g\text{-tors.}}$ pour un $g \geq 0$.

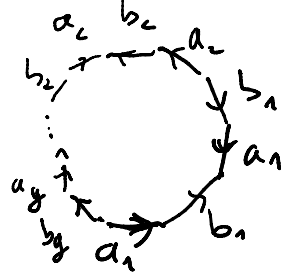
Prop 4.6: S_g est le quotient d'un $4g$ -gon régulier où on identifie les cotés avec la même lettre en respectant les orientations.

En part. S_g est un complexe cellulaire

avec : une 0-cell.

$2g$ 1-cell.

une 2-cell.



Finalement on a $\pi_1(S_g) = \langle a_i, b_i, 1 \leq i \leq g \mid \prod_{i=1}^g [a_i, b_i] \rangle$ où

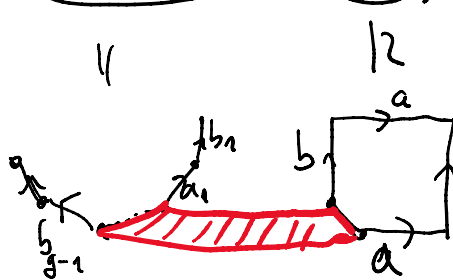
$$[a_i, b_i] = a_i b_i a_i^{-1} b_i^{-1}$$

PL ok pour $g=0, 1$.

En générale on remarque que $S_g \cong S_{g-1} * S_1$ (Somme connexe, ex 5.3).



Ceci donne le $4g$ -gon par récurrence et la structure cellulaire.



Pour le π_1 on applique 4.4 b) à l'unique 2-cellule, qui est attachée à $S_{g-1} * S_{g-1} * \dots * S_{g-1}$

le long de $a_1 b_1 a_1^{-1} b_1^{-1} a_2 \dots b_g^{-1}$ \square